

青藏高原东南局地山谷风环流在一次地形云和降水形成中的作用

李嗣源¹ 郭学良² 任婧² 唐洁¹ 亢鹏¹

1 中国气象科学研究院灾害天气国家重点实验室 (LASW)、中国气象局云雾物理环境重点实验
室, 北京 100081

2 中国科学院大气物理研究所云降水物理与强风暴实验室 (LACS), 北京 100029

摘要 利用第二次青藏高原科学考察及其他数据, 结合 5 层网格嵌套、高分辨率 (最高 333 m) 的 WRF 可分辨云数值模拟, 研究了局地山谷风环流在青藏高原东南林芝地区 2019 年 9 月 17–18 日一次地形云和降水形成过程中的作用。结果表明, 此次降水过程由西风槽天气过境造成, 林芝位于西风槽底部, 具有弱不稳定层结, 云和降水过程呈现明显的午后、傍晚和凌晨三个阶段的变化特征, 并且发现局地山谷风环流在这三个阶段的变化中具有重要作用。午后阶段, 由于山区强烈的太阳辐射加热, 首先产生明显的上坡风和强上谷风环流, 在山坡迎风坡受阻挡抬升, 并激发出强的地形波, 产生了强对流云和降水; 傍晚阶段, 由于山脉强烈的长波辐射冷却效应, 产生的强下坡风在谷底辐合抬升, 促进了山谷上空的弱对流、层状云发展; 凌晨阶段, 下坡风达到最强, 产生了强下谷风环流 (山风), 下坡风在谷底产生强烈的抬升作用, 形成深厚的层状云降水过程。

关键词 云和降水 山谷风环流 林芝地区 青藏高原

文章编号: 2021257C

Doi: 10.3878/j.issn.1006-9895.2202.21257.

Roles of local mountain-valley wind circulation in the formation of
an orographic clouds and precipitation event on the southeastern
Tibetan Plateau

收稿日期 2021-12-28; 网络预出版日期

作者简介 李嗣源,男, 1996 年出生, 硕士研究生, 主要从事云和降水物理研究。E-mail: lsyhahah@163.com

通讯作者 郭学良, E-mail: guoxl@mail.iap.ac.cn

资助项目 第二次青藏高原综合科学考察-极端天气气候事件与灾害风险 (2019QZKK0104), 中国气象科学研究院发展基金 (2020KJ016)

Funded by The Second Tibetan Plateau Scientific Expedition (Grant 2019QZKK0104), The development foundation of Chinese Academy of Meteorological Sciences(Grant 2020KJ016)

27 LI Siyuan¹ GUO Xueliang² REN Jing² TANG Jie² QI Peng¹

28 ¹State Key Laboratory of Severe Weather (LASW), Chinese Academy of Meteorological Sciences,
29 Beijing, and Key Laboratory for Cloud Physics, China Meteorological Administration, Beijing,

30 100081

31 ² Key Laboratory for Clouds and Precipitation Physics and Severe Storms, Institute of
32 Atmospheric Physics (IAP), Chinese Academy of Sciences (CAS), Beijing 100029

33

34 **Abstract** Using the data of the Second Tibetan Plateau Scientific Expedition and numerical
35 simulation results with five-nested domain and high resolution of 333m of WRF model, the role
36 of local mountain-valley wind circulation in an orographic clouds and precipitation event on
37 17-28, September 2019 in Nyingchi region of southeastern Tibetan Plateau is investigated. The
38 results show that the precipitation event was caused by a passage of westerly trough and
39 Nyingchi station is located at the base of westerly trough with weak unstable stratification. The
40 orographic clouds and precipitation event is found to have obvious three-stage variations in the
41 afternoon, evening and night, and the local mountain-valley wind circulation has an important
42 role in the variation. In the afternoon, the strong solar radiation heating forms obvious upslope
43 winds at first, and produces the strong upvalley winds, which are blocked and lifted in the
44 windward slope, and induces strong mountain waves, as well as strong convective clouds and
45 precipitation. In the evening, the strong longwave radiation cooling forms obvious downslope
46 winds and cause the convergence and lifting process of warmer air in the valley, enhancing the
47 formation and development of weak convection and stratiform clouds on the valley. In the
48 nighttime, the downslope winds reach the strongest, and downvalley winds (mountain winds) are
49 further enhanced, and the strong lifting causes deeper stratiform clouds.

50 **Keywords** Clouds and precipitation, Local mountain-valley circulations, Nyingchi region,
51 Tibetan Plateau

52 1 引言

53 青藏高原位于我国西南部, 约占国土面积的 1/4, 平均海拔超过 4000 米, 是
54 世界上海拔最高、地形最复杂的高原, 被称之为“世界屋脊”、“第三极”(Qiu,
55 2008)。青藏高原存在大量冰川、冻土、湖泊和河流, 是亚洲多个著名河流的发

56 源地，又被称为“亚洲水塔”（徐祥德等，2019）。研究表明，青藏高原对东亚
57 区域生态环境、水循环，乃至全球的天气气候均具有重要的影响（叶笃正，高由
58 禧，1979；徐祥德等，2002，2019）。但同时，青藏高原剧烈的地质构造活动和
59 复杂的地形结构，易引发滑坡、泥石流等次生地质灾害（Yao et al., 2012）。

60 有关青藏高原动力、热力作用和大气环流的研究较多（Yeh et al. 1957; Hahn
61 and Manabe 1975; Luo and Yanai, 1983,1984; Yanai et al. 1992; Wu and Zhang 1998;
62 Duan and Wu 2005; Molnar et al. 2010; Park et al. 2013），这些研究揭示了高原独特的
63 热力、动力作用和对西风、季风大气环流和下游天气的重要影响。但针对高原
64 地形对云和降水的影响研究较少。事实上，地形不但影响云和降水形成的动力、
65 热力和水汽输送过程（Rotunno et al., 2001; Roe, 2005; Galewsky et al., 2005; 郭欣
66 等, 2013; Siler et al., 2015, 2016; Veals et al, 2018）。而且地形本身的高度、宽度等
67 也会影响云和降水的形成过程（Garvert et al., 2007; 郭欣等, 2013）。

68 高原云和降水过程在区域水循环、生态环境和气候变化等方面具有重要作用。
69 一些卫星遥感观测数据分析研究表明，高原夏季云具有明显的日变化过程，对流
70 云往往成“爆米花”状结构(Fujinami and Yasunari 2002; 傅云飞等, 2007; 汪会
71 等, 2011)。亚洲季风青藏高原试验（GAME/Tibet）的雷达观测研究发现，高原
72 降水过程从中午、傍晚到深夜出现多次峰值(刘黎平等, 1999; 冯锦明等, 2002)。
73 第三次青藏高原大气科学试验开展了包括飞机、雷达和地面雨滴谱等综合观测研
74 究，发现高原云和降水过程除明显的日变化特征外，云微物理特征也具有明显的
75 独特性，如云中过冷水含量高，云滴尺度大，但浓度小，易产生降水（常祎，郭
76 学良, 2016; Zhao et al. 2018; Chang 2019）。一些数值模拟研究也揭示了高原云和
77 降水形成的动力和微物理特征（范广州，吕世华，1999; 朱士超等, 2011; 吴胜
78 刚等, 2016; 唐洁等, 2018a,b）。

79 从以上可以看到，青藏高原云和降水具有一些独特的特征，特别是云和降水
80 过程的日变化中出现多次峰值，但对其产生的原因不清楚，相关的研究很少。青
81 藏高原东南部山峰起伏大，地形非常复杂，具有明显的地形动力强迫效应。而且
82 不同海拔的地表由于对大气的加热作用不同，导致大气在水平方向受热不均匀，
83 会进一步激发地形热力、动力环流。由于复杂地形条件下，低层风场受地形影响
84 较大，具有高度不均匀性，而观测数据所能代表的范围非常有限。为揭示高原复

85 杂地形在局地大气环流、云和降水形成中的作用，采用高分辨率可分辨云过程数
86 值模拟十分必要。因此，本文拟利用第二次青藏高原科学考察试验期间，在藏东
87 南林芝地区获得的云雷达等观测数据，结合具有高分辨率地形数据的可分辨云过
88 程数值模拟试验，研究揭示青藏高原东南部林芝地区复杂地形对云和降水形成及
89 其演变的影响及其作用。

90 2 观测数据与数值模拟试验设计

91 2.1 观测数据

92 本研究使用的观测数据来自第二次青藏高原科学考察-林芝云降水物理过程
93 外场观测试验。林芝观测试验点位于林芝气象站 (94.33° E, 29.67° N) (图 1
94 黑色圆点)。观测试验设备包括 Ka 波段云雷达，微雨雷达和雨滴谱仪各一部。
95 Ka 波段云雷达具有观测云回波强度、径向风和偏振参数等功能，可开展体扫、
96 扇扫和 RHI 等扫描方式。微雨雷达是德国 Metek 公司生产的 MRR-2 型，主要工
97 作原理是通过雨滴谱分布与散射截面、下降速度的关系获得大气低层 2 km 以下
98 的降雨强度、雷达反射率因子、雨滴落速等信息，但只能应用在上升气流为零的
99 情况下的降雨观测。雨滴谱仪是德国 Thies 激光雨滴谱仪，可获得雨滴谱、降水
100 强度等信息。此外，林芝站还包括日常气象业务气象要素、雨量和 L 波段探空
101 观测。

102 2019 年度的林芝观测试验时段为 2019 年 8 月 23 日-9 月 22 日。林芝观测站
103 位于峡谷中，雷达观测受到周围山的遮挡比较严重。本文选择 9 月 17 日-9 月 18
104 日的一次具有较完整 Ka 雷达观测的个例进行数值模拟比较分析。另外，FY-4A
105 静止气象卫星的多通道扫描成像辐射计 (AGRI) 观测的全圆盘黑体亮温 (Black
106 Body Temperature, TBB) 数据 (空间分辨率为 4km) 也用于模式结果比较。欧洲
107 中心第五代大气再分析 (ERA5) 等数据用于模式初始场。

108 2.2 数值模拟试验设计

109 数值模式采用中尺度 WRF (Weather Research and Forecasting) V4.3 版。对
110 2019 年 9 月 17-18 日青藏高原东南部林芝地区的一次云降水过程以及主要形成机
111 理进行数值模拟研究。模式采用 5 层嵌套 (图 1)，以林芝站 (29.67° N, 94.33° E)
112 为模拟区域中心，水平方向采用 Arakawa C 网格，垂直方向采用混合垂直坐标，

113 该坐标在低层为地形跟随质量坐标，到高层转换为等压面坐标。以 $1^\circ \times 1^\circ$ 的
114 NCEP/FNL 再分析资料为初始场，模拟时间为 2019 年 9 月 17 日 12:00-9 月 19
115 日 00:00（当地时间，协调世界时 UTC+6，下同，表 1）。

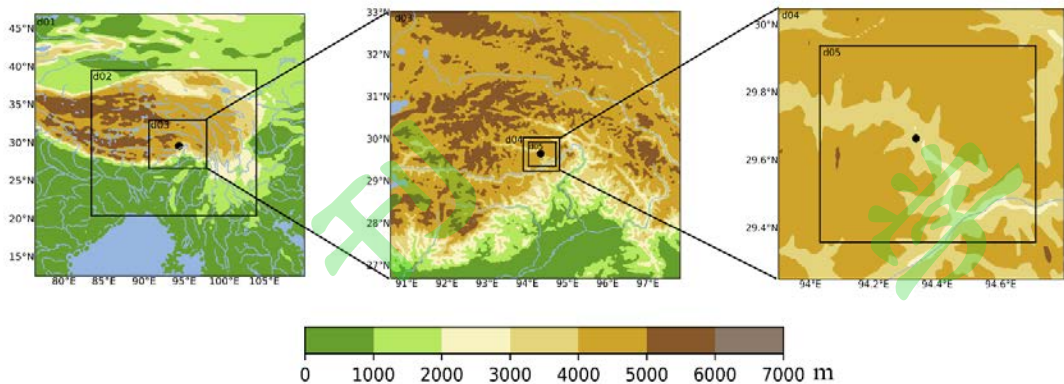
116 模式最内层地形数据采用高分辨率 SRTM (Shuttle Radar Topography Mission)
117 和 ASTER (Advanced Space Borne Thermal Emission and Reflection Radiometer
118 Global Digital Elevation Model) 资料，分辨率为 30m。在 WRF 模式中加入高分
119 辨率地形，能更准确地给出山脉的走向、高度等，可以提高模拟的精确度，对于
120 高分辨率条件下的地形云和降水过程模拟更为合理。图 1 给出了采用高分辨率地
121 形数据后模式第五层区域的地形高度分布，可清晰地显示出该地区山地和峡谷的
122 形状和走向。

123 云微物理过程采用 Thompson 方案 (Thompson et al., 2004)，包含了 5 种微
124 物理量，对冰晶和雨水进行了双参数处理，雨滴分布函数依赖于雨水混合比，假
125 定水滴经历一个从云滴尺度通过毛毛雨滴最终变成雨滴的逐渐转换过程，使得雨
126 滴的下落速度较为连续和合理，而且在雪粒子过程的处理方面考虑了雪的谱分布
127 和密度变化 (陈赛男等, 2019)。

128 表 1 模式设置与物理过程方案

129 Table 1 Model setup and physical process schemes

	Domain 1	Domain 2	Domain 3	Domain 4	Domain 5
网格距	27 km	9 km	3 km	1 km	333 m
格点数	150×150	250×250	250×250	100×100	211×211
垂直层	52	52	52	52	52
模式顶高	50 hPa	50 hpa	50 hpa	50 hpa	50 hPa
积云参数化方案	Grell-Devenyi	-	-	-	-
边界层方案	BMJ	BMJ	BMJ	BMJ	YSU
陆面过程方案	Noah	Noah	Noah	Noah	Noah
长波辐射方案	RRTM	RRTM	RRTM	RRTM	RRTM
云微物理方案	Thompson	Thompson	Thompson	Thompson	Thompson
表面层方案	Eta	Eta	Eta	Eta	MM5
短波辐射方案	Dudhia	Dudhia	Dudhia	Dudhia	Dudhia



130

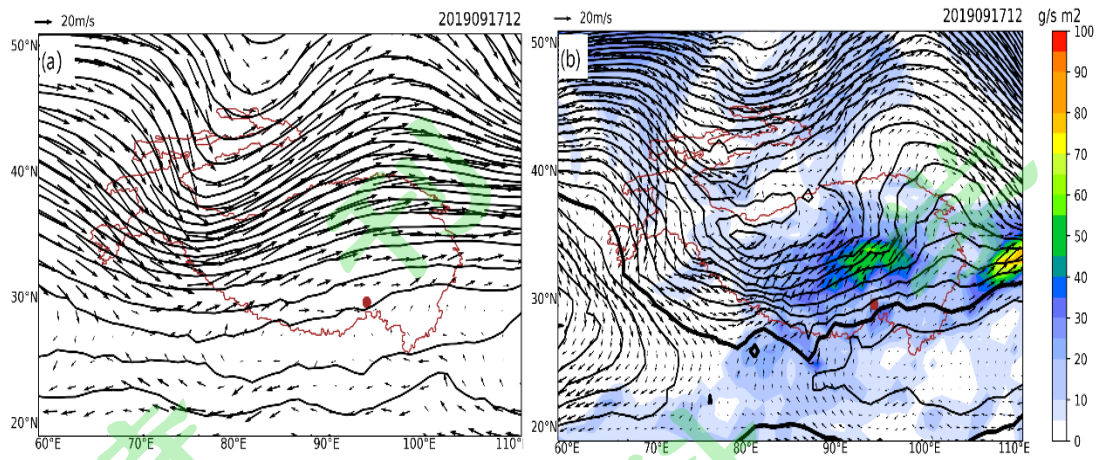
131 图 1 数值模拟采用的嵌套网格及地形高度（阴影）的分布。图中黑色圆点为林芝气象站的
132 位置。

133 Fig.1 Nested domains used in the numerical model and the distribution of terrain height (shaded).
134 The black dot is the location of the Nyingchi meteorological station.

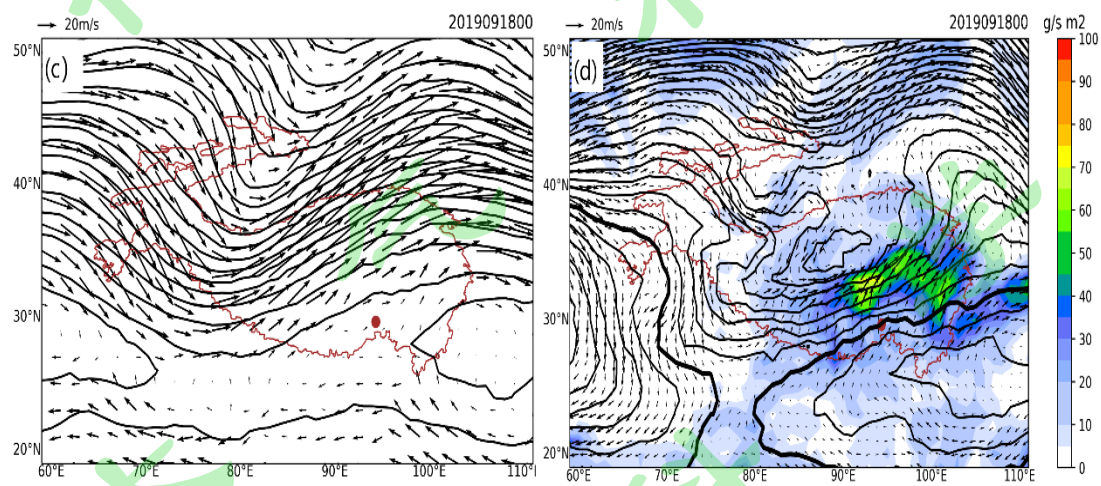
135

136 3 背景天气与卫星观测特征

137 2019 年 9 月 17 日-18 日期间，青藏高原东南部林芝地区在 17 日午后到 18
138 日出现降水云系，并产生降水过程。图 2 为 17 日 12 时和 18 日 00 时青藏高原地
139 区 200 hPa、500 hPa 位势高度场、风场及 500 hPa 水汽通量场分布。可以看到，
140 17 日 12 时在青藏高原西部 200 hPa 层（图 2a），有一深厚的东移西风槽，槽的
141 轴线位于青藏高原西部，林芝地区处于西风槽前的底部，受到高空弱西南气流的
142 影响。在 500 hPa 层（图 2b），西风槽明显加深，说明该西风槽具有向西倾斜的
143 垂直结构，这可能与低层来自孟加拉湾和印度洋的强气流影响有关。林芝地区已
144 处于强西南气流带中，其北部具有强的水汽通量输送带。在 18 日 00 时 200 hPa
145 层（图 2c），西风槽环流进一步加深和东移。在 500 hPa 层（图 2d），西南气流
146 和水汽输送通量增强。由此可见，此次林芝地区的降水过程产生的天气背景是西
147 风槽东移加强，而低层来自孟加拉湾、印度洋的气流是水汽输送的来源。



148



149

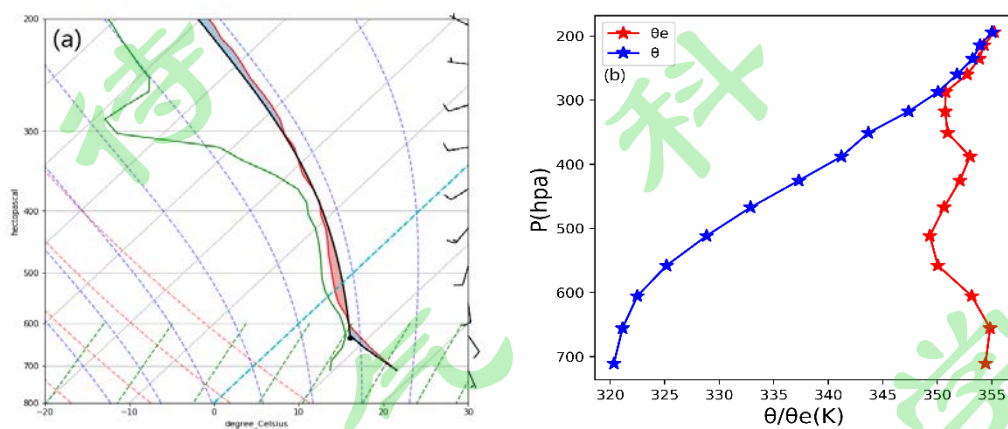
150 图 2 2019 年 9 月 17 日 12:00 时 (a) 200 hPa, (b) 500 hPa 和 9 月 18 日 00:00 (c) 200 hPa,
151 (d) 500 hPa NCEP 再分析资料位势高度场 (等值线, 单位: dagpm, 粗实线为 588 线),
152 风场 (箭头, 单位: $m s^{-1}$) 和 500 hPa 水汽通量 (阴影, 单位: $g s^{-1} m^{-2}$) 分布。棕色圆点为
153 林芝站位置, 棕色轮廓线为青藏高原范围。

154 Fig. 2 Distributions of geopotential height (contours, units: dagpm, the thick solid line is 588
155 dagpm), wind field (arrows, units: $m s^{-1}$) and 500-hPa moisture fluxes (shaded, unit: $g s^{-1} m^{-2}$) at
156 1200 LT on 17 at (a) 200 hPa, (b) 500-hPa, and at 0000 LT on 18 at (c) 200 hPa and (d) 500 hPa
157 in September, 2019 from the NCEP reanalysis data. The brown dot is the location of Nyingchi
158 station, and the brown line is the outline of the Tibetan Plateau.

159

160

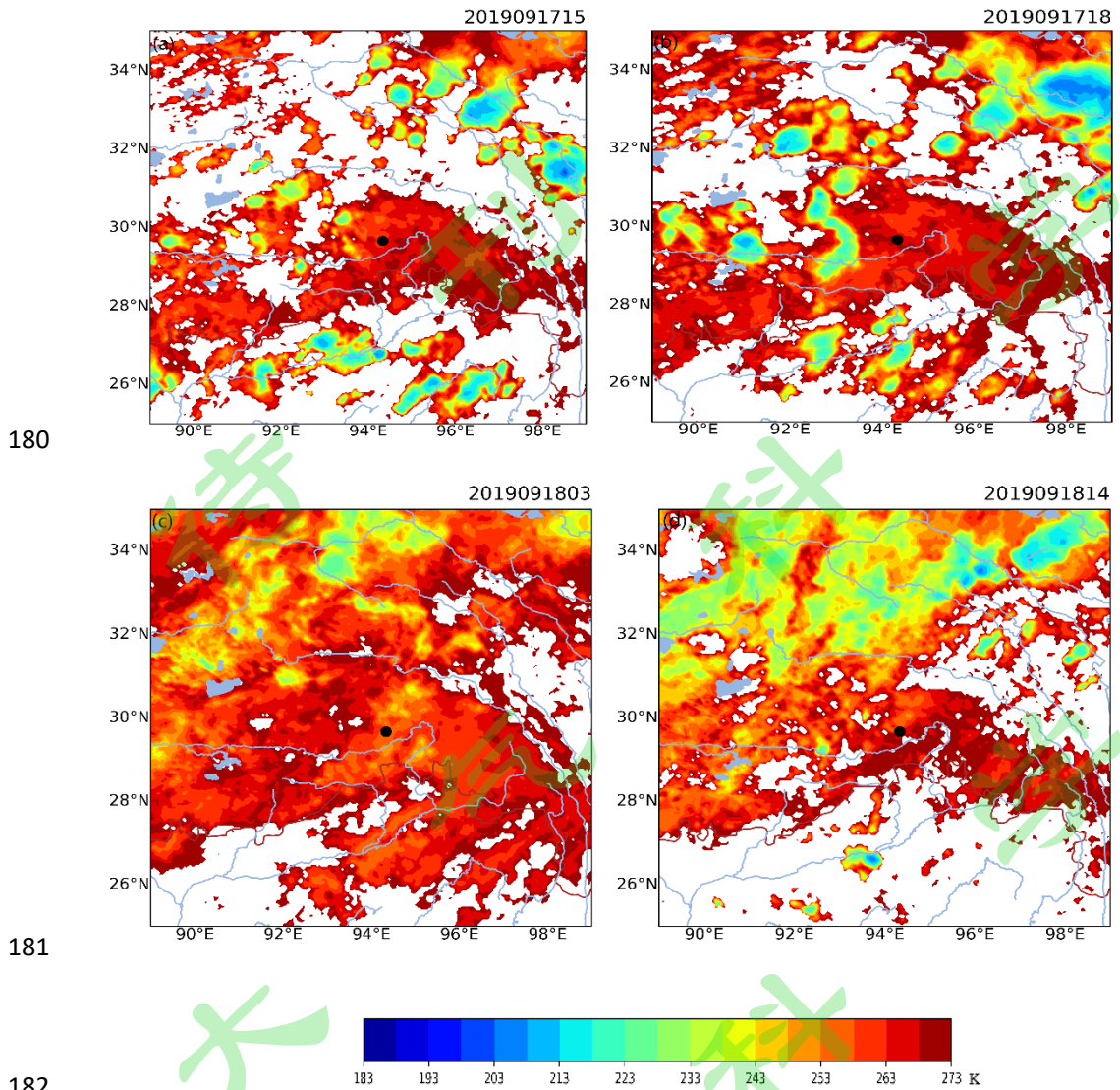
161 图 3a 为 2019 年 9 月 17 日 18:00 林芝站探空曲线。可以看到，600hPa 的低
 162 层盛行东南风，600–350 hPa 盛行西南风，350–250 hPa 为西风，250hPa 以上转
 163 为西北风。对流有效位能 (CAPE) 较小。600–350 hPa 的中高层湿度较大，600 hPa
 164 以下和 350 hPa 以上均比较干，因此，林芝站有发生弱不稳定对流的大气层结条
 165 件。从图 3b 的相当位温的廓线分布进一步可以看到，在 600hPa 附近相当位温随
 166 高度增加出现减小现象，表明存在静力不稳定环境条件。



167
 168 图 3 2019 年 9 月 17 日 18:00 林芝站 (a) 温度 (黑色)、露点温度 (绿色) 廓线分布，
 169 (b) 位温 (蓝色) 和相当位温廓线 (红色) 分布

170 Fig.3 (a) Profiles of temperature (black) and dew point temperature (green), and (b) that of
 171 potential temperature(blue) and equivalent potential temperature(red) at Nyingchi station at 18:00
 172 on September 17 2019

173
 174 图 4 为 FY-4A 卫星观测得到的黑体亮温 (Black Body Temperature, TBB)。
 175 从 17 日午后开始 (图 3a)，林芝地区西侧和北侧出现零星的弱对流单体，随后
 176 对流单体发展、合并，形成较大范围的云带，至 17 日 18:00 时，降水云的云顶
 177 较高，云层深厚，强中心 TBB 值低于 210 K (图 4b)。17 日夜间至 18 日中午，
 178 云顶温度为 220 K 左右，云系强度减弱 (图 4c, d)。可以看到，云的形成、发
 179 展和减弱过程具有明显的日变化特征。



183 图 4 2019 年 9 月 17 日至 18 日 FY-4A 观测的 TBB (单位: K) 随时间的演变, (a)9 月 17 日
184 15:00, (b) 9 月 17 日 18:00, (c) 9 月 18 日 03:00, (d) 9 月 18 日 14:00

185 Fig.4 Time evolution of TBB (unit: K) observed by FY-4A satellite at (a) 15:00 September 17, (b)
186 18:00 September 17, (c) 03:00 September 18, and (d) 14:00 September 18.

187

188 4 观测与数值模拟结果比较

189 图 5 为 9 月 17 日 13:00 时至 18 日 15:00 时 d03 区域内模拟和所有测站观测
190 的累计降水量的对比。可以看出, 降水大值主要集中在青藏高原东南部的大片区域,
191 模拟的强降水位置与观测的强降水位置大致吻合, 但模拟的降水量级要大于

192 观测值。对第三层内 26 个观测站点小时降水的平均值与观测的平均降水量相关
193 系数为-0.25，平均误差 0.086 mm，均方根误差 0.138 mm，说明模式模拟的降
194 水与站点观测的降水之间仍然存在明显差别，这可能与模式本身的误差、区域内
195 复杂地形影响以及选择的物理方案等因素有关，但由于观测站点有限，代表性不
196 足，也是产生差别的重要原因。

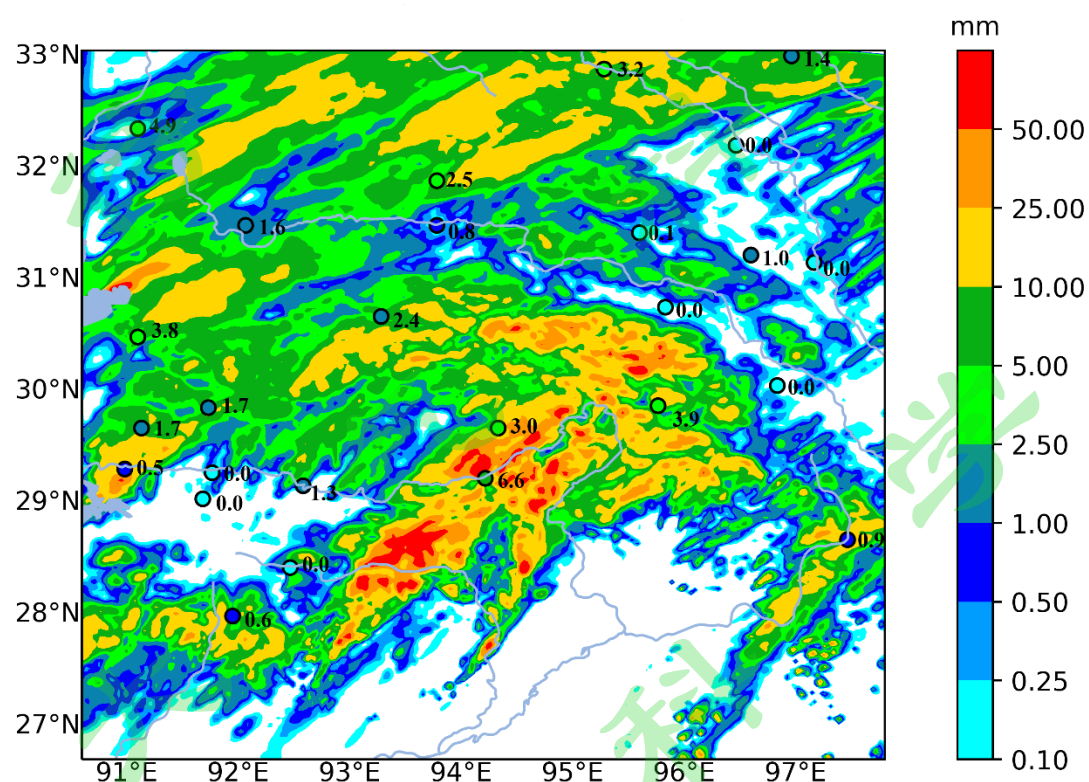


图 5 2019 年 9 月 17 日 13:00 时至 9 月 18 日 15:00 时数值模拟(彩色阴影)与各观测站(圆圈代表站点位置, 数字代表其累计降水量)观测的累计降水量(单位: mm)比较。

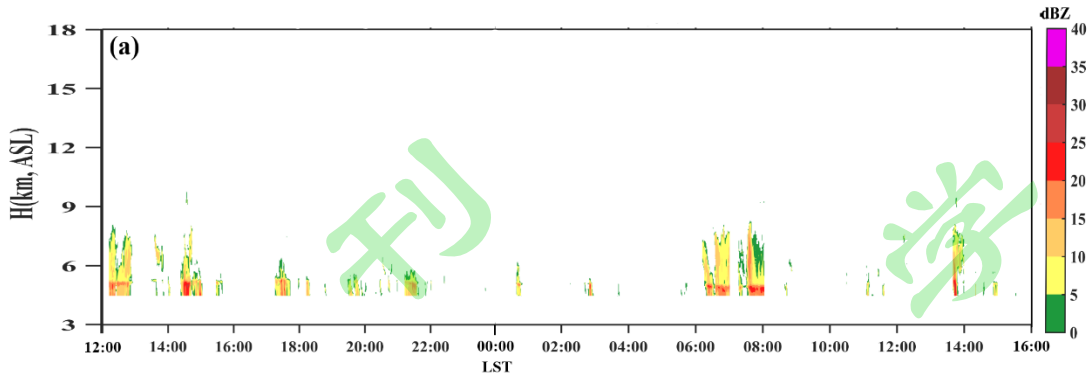
200 Fig 5 Simulated (color shaded) and observed (circle with number) accumulated precipitation
201 amount (mm) from 13:00 on September 17 to 15:00 on September 18, 2019. The circles are the
202 location of stations and the numbers are the accumulated precipitation amount.

图 6 为 2019 年 9 月 17 日 12: 00 时至 9 月 18 日 16: 00 时林芝 Ka 波段云雷达垂直指向观测回波与同一时段模式输出的林芝雷达反射率的时间演变特征和对比情况。可以看出, 模式基本能反映出林芝地区的雷达回波形成及其演变的时

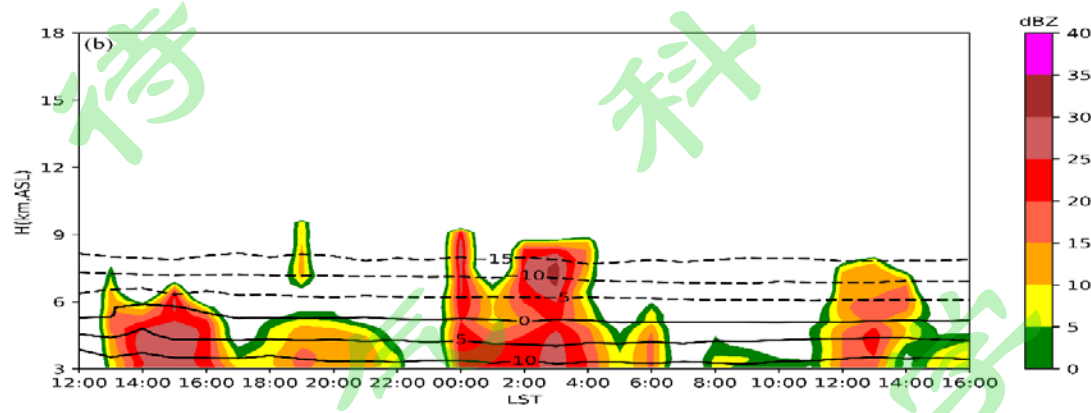
207 间变化特征。从观测雷达回波时间演变看，雷达上空的回波强度具有 2 个明显
208 的时间尺度的变化特征，第一个较短的时间尺度反映的是回波强、弱间隔的间歇性
209 变化特征，这个特征说明回波呈现带状或块状分布，这与前面的卫星和降水分布
210 一致，这个特征与高原复杂地形分布密切相关。卫星观测表明，青藏高原云带往
211 往沿山脊走向分布，呈较为规则的带状分布。另外，还存在另一个较长的时间尺
212 度分布，即日变化特征，即某一段整体偏强，某一段整体偏弱的变化特征，
213 这个特征应该与高原白天强烈太阳辐射加热和夜间的强烈长波辐射冷却的日变
214 化特征有关，在后面的机制中开展进一步的详细讨论。

215 从数值模拟结果看，数值模拟结果并不能很好地反映出短时间尺度的回波强、
216 弱间隔变化特征，但可以比较好地反映出日变化特征。数值模拟的云形成和发展
217 基本可划分为三个阶段，即午后阶段（13:00–16:00），傍晚阶段（18:00–22:00）
218 和凌晨阶段（00:00–06:00）。前 2 个阶段与雷达观测比较一致，最后一个阶段出
219 现时间较雷达观测偏早，雷达观测显示的回波出现在 18 日的 01:00，并持续到
220 08:00，持续时间也比较长。这个特征与前面在青藏高原其他地区的雷达和降水
221 观测特征基本一致（刘黎平等，1999；冯锦明等，2002；常祎，郭学良，2016；
222 赵平等 2018），但对产生的机理仍然不完全清楚，特别是对傍晚和凌晨阶段云增
223 强和发展产生的原因不清楚。

224 午后阶段是 17 日午后 13:00 开始，由于高原强烈的太阳辐射加热作用，开
225 始出现局地热对流，最大雷达反射率出现在 14:00 时之后，达到 25 dBZ 以上，
226 并产生较强的对流性降水，降水强度达到 6.0 mm h^{-1} 左右。17:00 时后对流减弱，
227 云顶高度降低，但 18:00–22:00 期间的傍晚阶段，云系又开始发展，具有持续性
228 层状云或弱对流云特性，随后又出现减弱。在 18 日 00:00 时到 06:00 的凌晨阶
229 段，再次出现较强的云发展过程，强回波中心达到 20 dBZ 以上，并在这一时段
230 产生了较大的降水量。18 日午后对流发展，进入下一个循环过程，但由于高空
231 槽已移出研究区域，后面的降水过程并没有持续下去。



232



233

234 图6 2019年9月17日12:00时至9月18日16:00时雷达观测和数值模拟的云反射率(dBZ)
235 的高度-时间分布, (a) Ka波段云雷达, (b) 数值模拟。

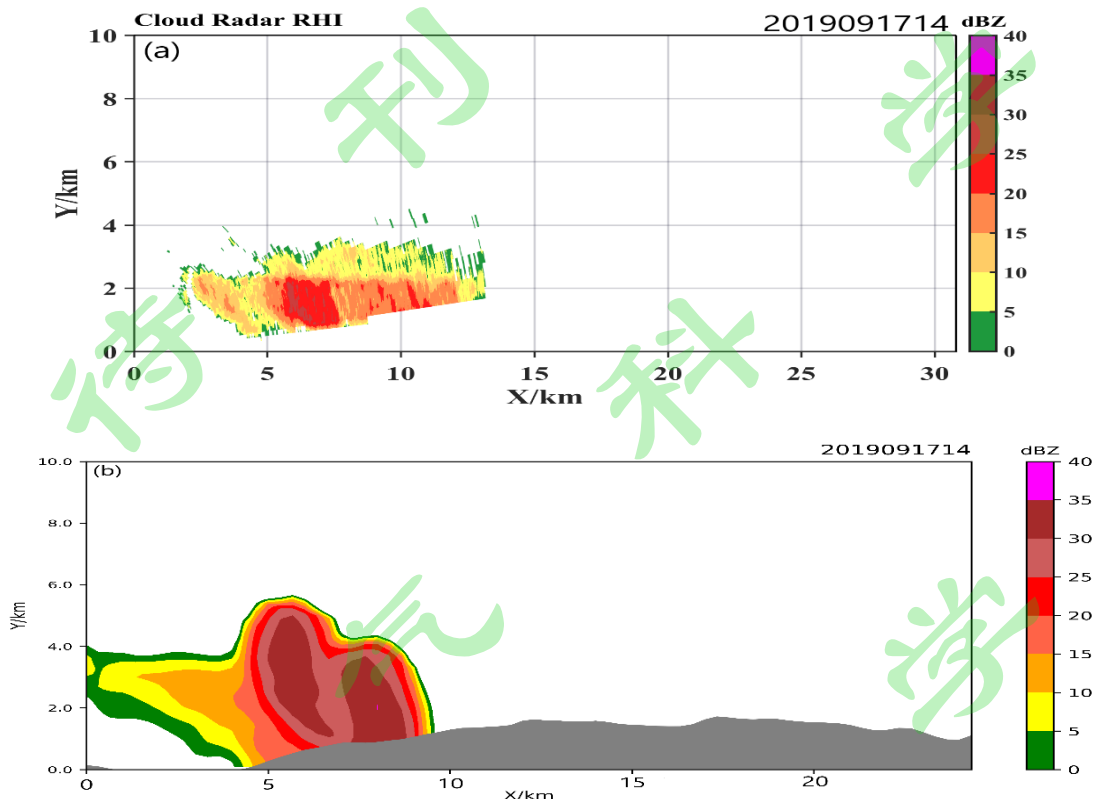
236 Fig.6 Height-time distribution of radar reflectivity (dBZ) derived from (a) Ka-band radar, and (b)
237 WRF model from 12:00 on September 17 to 16:00 on September 18.

238

239 为进一步了解以上三个不同阶段云反射率水平和垂直分布结构特征,下面对
240 青藏高原科学考察期间林芝Ka波段云雷达观测结果进行分析,并与数值模拟结
241 果比较。图7为2019年9月17日14:00林芝站的雷达观测与数值模拟的剖面分
242 布比较。由于林芝地面海拔高度3km左右,观测和模拟的云顶高度分布在离地
243 面4-5km左右,海拔高度7-8km,零度层的海拔高度约5.2km,地面高度约2.2
244 km,雷达观测的零度层下方出现明显的下挂强回波,这与我国南方梅雨锋云带
245 雷达回波结构很相似(黄美元,洪延超,1984)。冷云厚度约2-3km,暖云厚度约
246 2km,说明高原对流云的冷暖云厚度相当,而且云带随气流抬升沿山坡分布,且
247 随山坡高度增加,回波基本呈现先增加后减弱现象,表明气流在地形抬升过程中,

248 水汽凝结过程先出现加强，然后随着水汽含量减小，水汽凝结过程减弱。数值模
249 式模拟的云产生过程基本与雷达观测一致。

250



251

252 图 7 2019 年 9 月 17 日 14:00 时的雷达反射率垂直剖面分布, (a) Ka 云雷达, (b) WRF
253 模拟。图中纵坐标高度为地面高度。

254

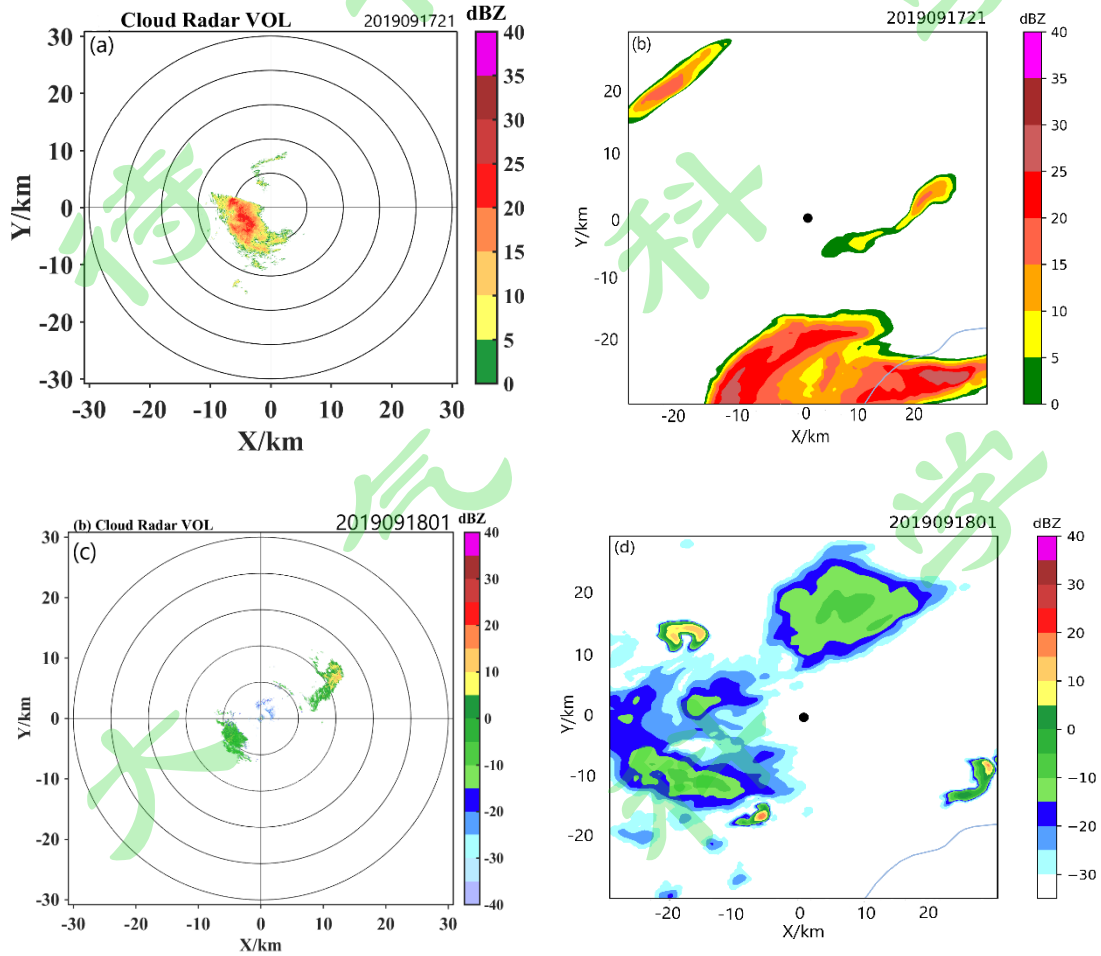
Fig. 7 Cross sections of radar reflectivity (dBZ), (a) observed by Ka-band radar and that modeled
255 by WRF model at 14:00 on September 17, 2019. The height in the figure is above the surface.

256

257 图 8a, b 为 2019 年 9 月 17 日 21:00 时刻林芝站 Ka 波段云雷达观测的组合
258 反射率的水平分布与数值模拟结果的比较, 代表傍晚阶段的云组合反射率水平分
259 布特征。可以看到, 云由午后阶段的分散性对流向带状对流转化。数值模拟的云
260 带状特征与雷达观测比较一致, 但数值模拟偏强。造成的原因一方面是数值模式
261 本身造成的, 另一方面也与周围地形对雷达观测的遮挡有关。林芝站位于峡谷中,
262 南北山的遮挡严重影响雷达 PPI 观测。由于晚上没有进行 RHI 观测, 这里不进
263 行垂直雷达回波结构对比。图 8c, d 为 2019 年 9 月 18 日 01:00 时刻林芝站 Ka
264 波段云雷达观测的组合反射率的水平分布与数值模拟结果的比较, 代表凌晨阶段

265 的云组合反射率水平分布特征。可以看到，云由第二阶段的带状对流基本转化为
266 层状云。数值模拟的层状云特征与雷达观测比较一致。由于晚上没有进行 RHI
267 观测，这里也不进行垂直雷达回波结构对比。由此可见，午后阶段的高原云基本
268 呈现分散性对流分布特征，傍晚转化为带状积云，次日凌晨完全转化为层状云系。

269



271 图 8 2019 年 9 月 17 日 21:00 和 9 月 18 日 01:00 的雷达观测和数值模拟的组合反射率比较

272 Fig.8 Comparison of observed and modeled radar reflectivity factor at 21:00 on September 17 and
273 01:00 on September 18

274

275 5 复杂山谷风环流在云和降水形成中的作用

276 地形云和降水形成往往是多种机制共同作用的结果，如地形对盛行背景气流
277 的抬升、阻挡以及地形重力波的作用（郭欣等，2013）。另外，由于不同高度地
278 形受太阳辐射加热和长波辐射冷却过程不同，会产生复杂的山谷风热力环流，这

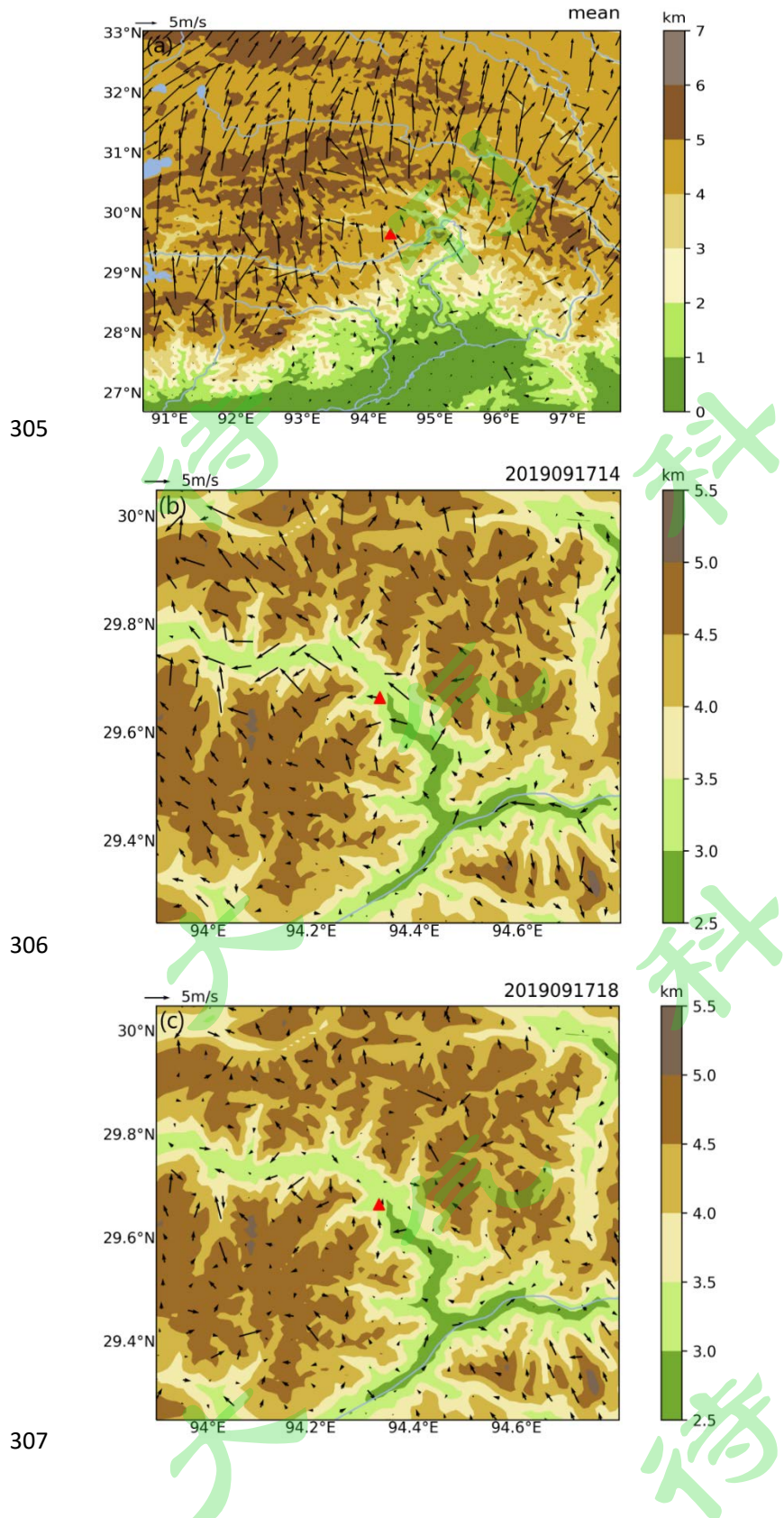
279 种热力环流在地形云和降水形成中的作用及其作用机制仍然不清楚。青藏高原东
280 南部林芝地区处在一个西北—东南走向的狭长山谷中，两侧均为高大山峰，山地
281 和谷地高度差最大可达 2000 m 以上，但很少有研究探讨过这种山谷风环流在高
282 原地形云和降水形成中的作用。

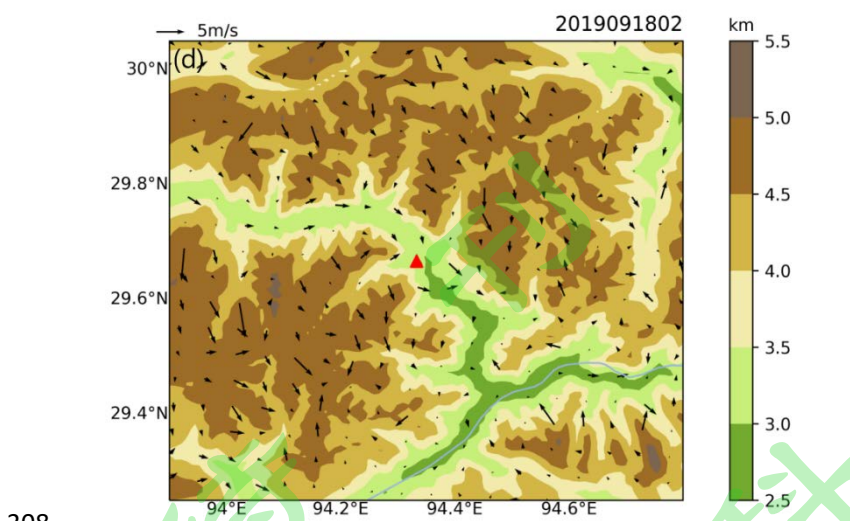
283 5.1 林芝地区山谷风环流特征

284 一般而言，局地山谷风热力环流在晴好条件下比较明显，但在云和降水天气
285 过程中，由于受强背景天气环流的影响，山谷风热力环流的表现往往并不典型，
286 尤其在复杂地形下更难辨识。为揭示林芝地区山谷风环流的特征，对风场进行
287 24 小时平均（9 月 17 日 12:00-18 日 12:00），得到 24 小时平均风场，然后再求
288 出实际风场与平均风场的差值（扰动风场），这个扰动风场在背景环流比较稳定
289 的情况下，基本能反映出白天和夜间风场的变化情况。从图 2 显示的背景大气环
290 流的分布看，林芝地区在 9 月 17-18 日期间，背景风场比较稳定，因此扰动风速
291 的变化，可以在很大程度上能够反映出山谷风环流的日变化情况。

292 图 9 给出了 9 月 17-18 日第三层嵌套网格平均风矢量分布，以及第四嵌套网
293 格午后、傍晚和凌晨的扰动风矢量的水平分布。可以看到，由于地形的影响，林
294 芝地区的平均风基本成东南风，而其周边地区的风基本呈西南风（图 9a）。9 月
295 17 日 14:00 时（图 9b），由于太阳辐射加热的作用，林芝周边的山区基本为上坡
296 风。在上坡风起主导作用的过程中，东南-西北走向的谷风明显加强。到当天傍
297 晚 18:00（图 9c），由于太阳辐射开始减弱，地表长波辐射冷却过程开始加强，
298 导致上坡风开始减弱，下坡风开始加强。到 22:00 时，下坡风已完全占主导地位。
299 到 9 月 18 日凌晨 02:00（图 9d），由于长波辐射冷却达到最大，可以看到强的下
300 坡风和山风出流。

301 由以上可见，即使在云和降雨天气背景条件下，林芝地区的山谷风环流仍然
302 有明显的日变化特征，说明林芝地区复杂高大地形产生山谷风环流比较强，但这
303 种日变化在云和降水形成中的作用及其影响仍然未知，下面按照前面划分的三个
304 阶段对复杂地形山谷风环流在云和降水形成中的作用及其产生机制进行分析。





308

309 图 9 第四层嵌套网格的水平风矢量分布及日变化, (a) 9 月 17-18 日平均风矢量, (b) 9
310 月 17 日 14:00, (c) 9 月 17 日 18:00, (d) 9 月 18 日 02:00

311 Fig. 9 The horizontal distribution and diurnal variations of (a) mean wind vector during 17-18
312 September, and perturbation wind vectors at (b) 14:00 and (c) 18:00 on September 17, and (d)
313 02:00 on September 18 from fourth nested-domain.

314

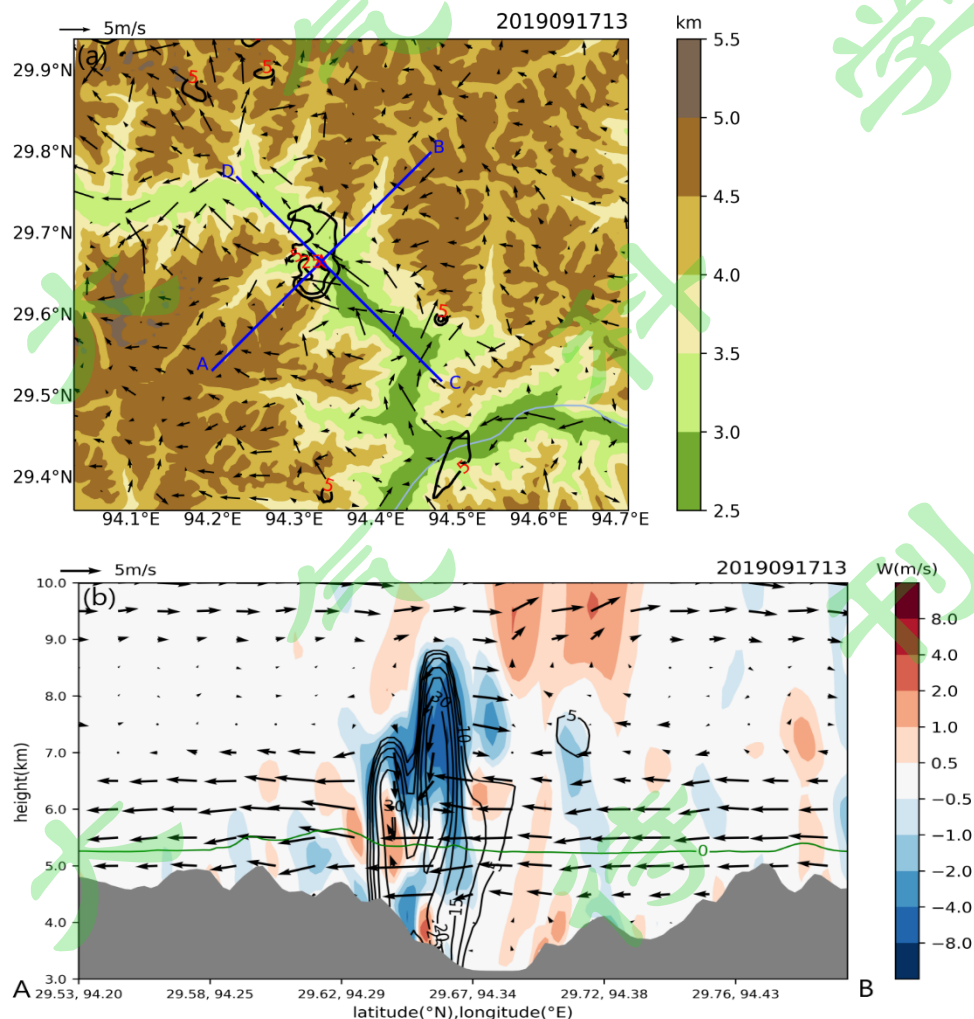
315 5.2 午后阶段山谷风与云形成特征

316 图 10a 为数值模拟的 9 月 17 日 13:00 时 6 km 高度的雷达组合反射率、10m
317 高度扰动风矢量和地形高度的水平分布。可以看到, 整个区域盛行东南风, 这与
318 前面的林芝站低层探空风向一致, 但在谷底有强的东南谷风(上谷风), 南面山
319 坡为上坡风, 这是由于山坡受太阳辐射加热增温率大于谷地, 导致山坡和山顶气
320 压降低, 形成由山谷向山顶的气压梯度力, 导致气流由山谷向山顶运动, 从而形
321 成上坡风。从回波分布位置及其对应的气流分布可以明显看到, 回波是由上坡风
322 遇到山坡抬升形成的。此外, 由于上坡风的形成, 导致谷底气压降低、气流辐合,
323 东南谷风进一步加强, 使得低层通过峡谷流入的来自孟加拉湾的暖湿气流增强,
324 提供了云形成的水汽条件。由此可见, 午后阶段的云和降水形成主要是由于白天
325 山坡强烈的太阳辐射加热作用引起的, 强的上谷风环流有利于加强通过峡谷流入
326 的暖湿气流, 暖湿气流遇到山坡抬升在不稳定大气层结条件下形成对流性回波。

327 图 10b 为图 10a 中垂直峡谷的 AB 线的剖面分布。可以看到, 垂直气流速度
328 (阴影)呈现正负相间分布, 这是典型的地形重力波分布特征(郭欣等, 2013),
329 是由强上谷风与地形碰撞产生的地形重力波传播造成的。扰动风矢量分布显示,

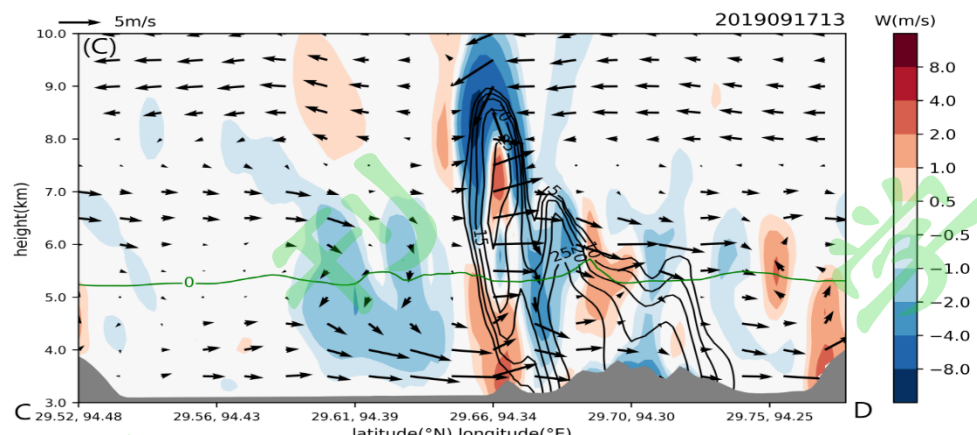
330 贴近山脉上部产生了近 2 km 厚度的强东北风风速带（急流带），由于该急流带的
331 风向与背景天气主导风的风向相反，这个急流带的形成也许与山坡太阳辐射强加
332 热有关，但这个现象不同于简单地形的山谷风环流，有关产生原因有待进一步研
333 究。由此可见，造成午后高原对流产生的局地环流比较复杂，除山坡对上谷风气
334 流的抬升作用外，强上谷风与迎风山坡撞击激发出的地形重力波也具有重要作用，
335 在不稳定大气层结条件下，形成深厚的对流降水过程。

336 图 10c 为图 10a 中平行峡谷的 CD 线的剖面分布。可以看到，强上谷风环流
337 在遇到地形阻挡后被抬升产生强的上升气流，上升气流主要产生在迎风坡一侧，
338 从而造成气流抬升凝结形成云。由此可见，午后阶段的云和降水形成主要发生在
339 上谷风的迎风坡上，由于山坡强烈太阳辐射加热，上坡风形成后导致上谷风加强，
340 加强的上谷风与迎风坡相遇后被抬升，并碰撞激发出地形重力波。在不稳定大气
341 层结条件下，云的表现形式主要以对流为主。



342

343



344

345 图 10 2019 年 9 月 17 日 13:00 时模拟的 (a) 6 km 高度雷达组合反射率 (黑色等值线)、10
 346 m 高度扰动风矢量和地形高度 (彩色填充) 的水平分布, (b) 图 9a 垂直峡谷的 AB 线 (蓝色)
 347 剖面的反射率、垂直气流速度 (彩色填充, 单位: m/s)、扰动风矢量、地形 (灰色填充) 分
 348 布, (c) 同 (b), 但为平行峡谷的 CD 线的剖面。绿色实线为 0°C 等温线。红色三角形为林
 349 芝站位置。

350 Fig. 10 (a) horizontal distribution of radar reflectivity (dBZ, solid lines) at 6 km, perturbation wind
 351 vector at 10m, and terrain height (color shaded), (b) cross section of reflectivity (dBZ, solid lines),
 352 perturbation wind vector, vertical velocities (color shaded, m/s) and terrain (grey shaded) along
 353 AB line in Fig.9a, (c) same as in (b) but for that along CD line. Green solid line is the temperature
 354 of 0°C at 13:00 on September 17, 2019. The red triangle is the position of Nyingchi station.

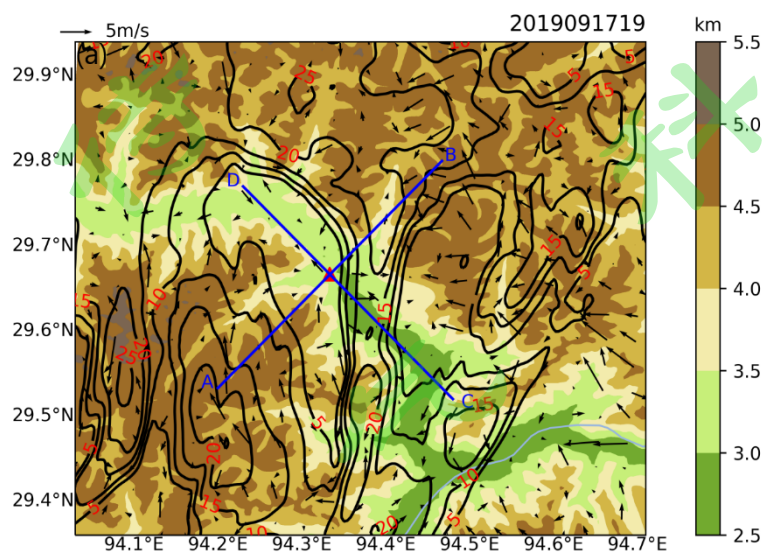
355

356 5.3 傍晚阶段山谷风与云形成特征

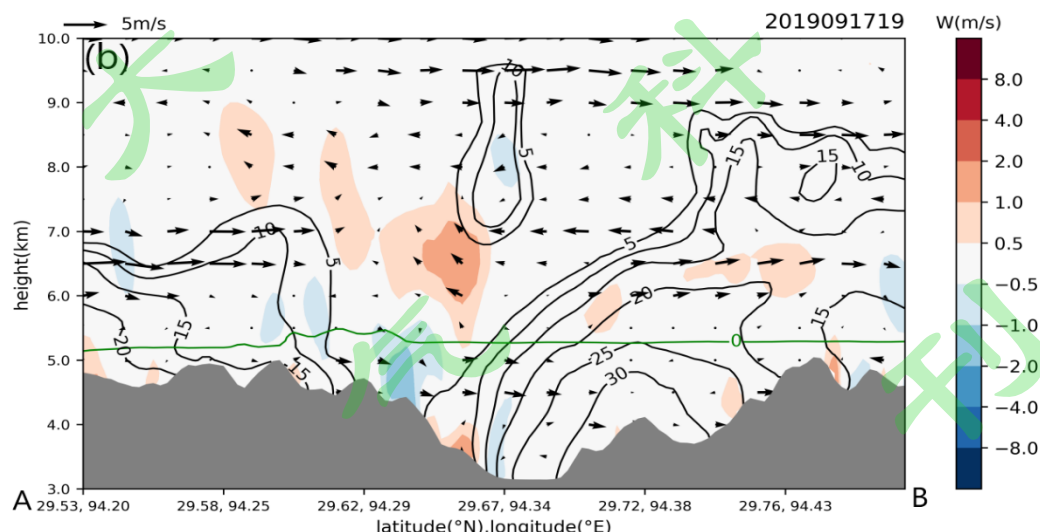
357 图 11a 给出了 9 月 17 日 19:00 时 6 km 高度的雷达组合反射率、10m 高度扰
 358 动风矢量和地形高度的水平分布, 代表傍晚阶段。可以看到, 与午后阶段相比,
 359 原来东南来向的上谷风明显减弱, 部分峡谷中出现反向谷风 (下谷风)。下坡风
 360 开始出现, 并加强。原来主要分布在山区的雷达回波强中心开始向山谷扩展。图
 361 11b 显示, 林芝西南部产生了更为明显的下坡风, 这应该与西南山峰高度高有关,
 362 强下坡风辐合促使谷底暖空气抬升, 因此谷底上空有明显的上升气流区。强下坡
 363 风遇到对面山坡抬升后, 进一步加强了谷底空气的抬升, 产生了更深厚的云。山
 364 脉上部出现的急流区的形成应与两边更高山脉产生的下坡气流有关。图 10c 显示,
 365 4.5km 以下有明显来自两边山区的下坡气流的辐合抬升过程, 促使谷底上空的云
 366 发展, 沿峡谷的云基本为弱对流云或层状云分布, 由于地形分布不均匀, 层状云

367 底部呈现不均匀分布特征。4.5km以上的深厚强风速带应与背景东南风在傍晚的
368 加强有关，产生原因有待深入研究。

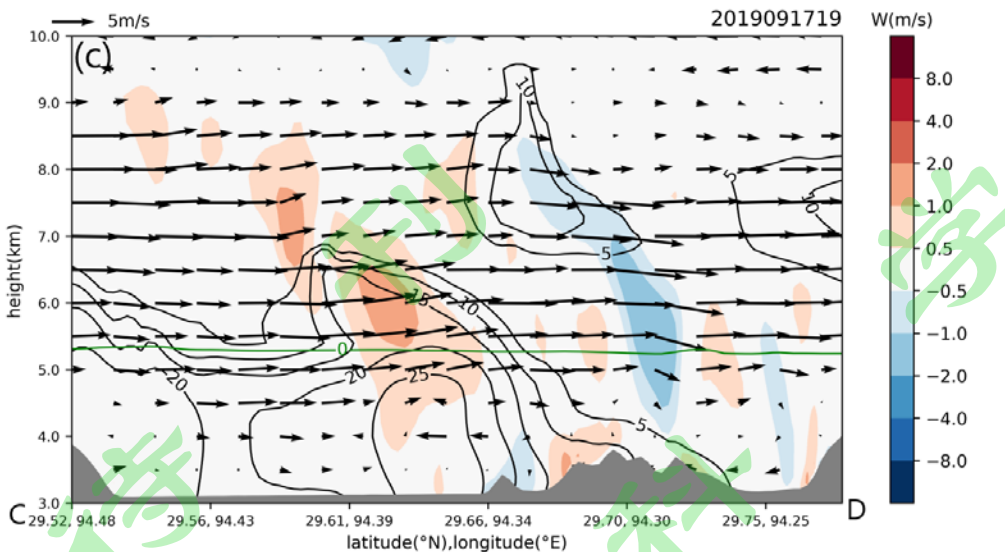
369 由以上可见，傍晚阶段，由于山脉的辐射冷却过程起主导作用，顺背景盛行
370 风一侧的下坡风比较明显，而逆背景盛行风的下坡风，由于与盛行风方向相反，
371 具有抵消作用，下坡风表现并不明显。下坡风在谷底辐合产生明显的抬升作用，
372 促进了谷底上空的云的发展，云的结构由午后的对流转化为浅对流云和层状云。



373



374



375

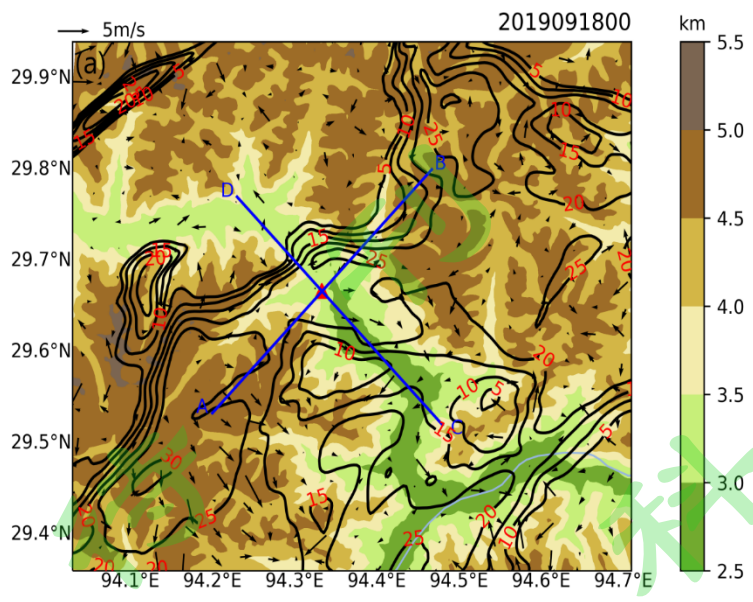
376 图 11 同图 10, 但为 9 月 17 日 19:00 时的情况。

377 Fig.11 Same as in Fig.10, but for 19:00 September 18

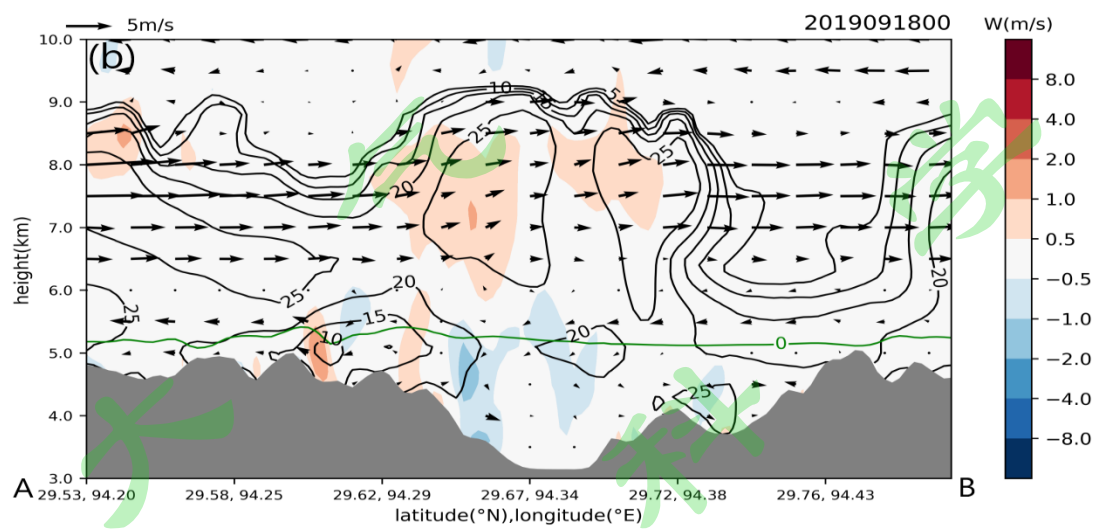
378

379 5.4 凌晨阶段山谷风与云形成特征

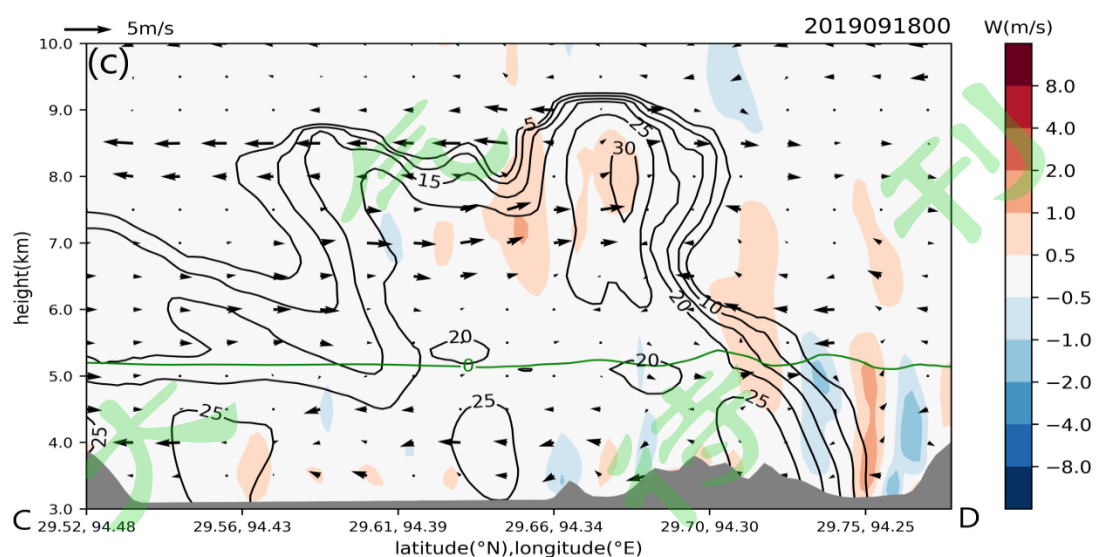
380 选择 9 月 18 日 00 时数值模拟的水平和垂直剖面分布代表凌晨阶段的山谷风
 381 环流与云和降水形成情况。图 12a 显示, 扰动风矢量分布显示林芝地区的峡谷区
 382 基本为下谷风, 两边的山区以下坡风为主导。大范围的雷达反射率已经覆盖在山
 383 区和峡谷上空。沿 AB 的垂直剖面显示 (图 12b), 雷达反射率垂直结构显示主
 384 要以积层混合云为主, 分布高度达 9 km, 强中心主要分布在山谷上空, 与强下
 385 坡风在谷底辐合抬升有关。6.5-8.5km 高度出现的西南急流带与午后风向完全相
 386 反 (图 10b), 但高度明显偏高, 前面谈到, 该急流带的产生原因不清楚, 但白
 387 天和夜间急流风速方向完全相反的现象说明, 该急流带具有日变化特征。该急流
 388 带的产生是否与地形白天和夜间的热力环流有关, 有待进一步研究。由于林芝的
 389 西南面有更为高大的喜马拉雅山脉, 白天的上坡风恰好呈东北风, 晚上的下坡风
 390 呈西南风, 与这个急流的风向一致。由于本论文仅关注林芝附近的山谷风环流与
 391 云和降水的形成, 高原东南部更大范围的山谷风环流有待进一步探索。图 12c 显
 392 示, 低层的西北-东南向的下谷风 (山风) 比较明显, 峡谷上空的云发展比较深
 393 厚。



394



395



396

397 图 12 同图 10, 但为 9 月 18 日 00:00 时

398 Fig.12 Same as in Fig.10, but for 00:00 September 18

399 6 结论与讨论

利用第二次青藏高原科学考察的云雷达观测等数据,结合 WRF 中尺度数值模式,研究了山谷风环流在林芝地区 2019 年 9 月 17-18 日地形云降水过程的作用,结论如下:

此次降水过程由西风槽天气过境造成,林芝位于西风槽底部,具有弱不稳定层结,CAPE较小。依据Ka波段云雷达观测,云和降水过程呈现明显的三个阶段:即午后阶段(13:00-16:00),傍晚阶段(18:00-22:00)和凌晨阶段(00:00-06:00)。

406 林芝地区的局地山谷风环流在云和降水形成和演变过程中具有重要作用。午
407 后阶段,由于山区强烈的太阳辐射加热,首先在山脉产生明显的上坡风,峡谷中
408 的上山谷风加强,在山坡处受阻挡抬升,并激发出强的重力波,产生了强对流云
409 和降水。傍晚阶段,由于山脉强烈的长波辐射冷却效应,产生下坡风,下坡风在
410 谷底辐合抬升,促进了山谷上空的弱对流、层状云发展,并产生强降水。凌晨阶
411 段,下坡风达到最强,下谷风(山风)得到加强,在谷底产生强的抬升作用,造
412 成深厚的层状云降水过程。

需要指出的是，青藏高原东南部地形复杂、山峰起伏大，该地区测站稀疏、
观测资料少，因此有关山谷风环流及其在云和降水形成过程中的作用有待进一步
检验和深入研究，特别是，对于出现在山脉上空的急流过程的产生原因还不明确，
有待进一步探讨。

参考文献 (References)

- 418 陈赛男, 郭学良, 付丹红. 2019. 北京一次短时局地大暴雨过程的特征及对云微物理方案的
419 敏感性数值模拟试验[J]. 大气科学, 43(6):1344-1364. Chen Sainan, Guo Xueliang, Fu Danhong.
420 2019. Characteristics of a Short-Duration and Localized Severe Rainstorm Event in Beijing
421 City and Sensitivity of Cloud Microphysical Schemes in Numerical Simulations [J]. Chinese
422 Journal of Atmospheric Science(in Chinese), 43(6): 1344-1364.doi:10.3878/j.issn.1006-9895.19
423 04.18218.

424 常祎, 郭学良. 2016. 青藏高原那曲地区夏季对流云结构及雨滴谱分布日变化特征[J]. 科学通
425 报, 61(15):1706. Chang Yi, Guo Xueliang. 2016. Characteristics of convective cloud and
426 precipitation during summer time at Naqu over Tibetan Plateau [J]. Chin. Sci. Bull. (in Chinese),
427 61(15):1706, doi:10.1360/N972015-01292.

428 Chang Y, Guo X L, Tang J, et al. 2019. Aircraft measurement campaign on summer cloud
429 microphysical properties over the Tibetan Plateau[J]. Scientific Reports, volume 9, Article

- 430 number: 4912.
- 431 Cox J A, Steenburgh W J, Kingsmill D E, et al. 2005. The kinematic structure of a Wasatch
432 Mountain winter storm during IPEX IOP3[J]. Monthly Weather Review, 133(3): 521-542.
- 433 Duan A, Wu G. 2005. Role of the Tibetan Plateau thermal forcing in the summer climate patterns
434 over subtropical Asia[J]. Climate Dyn., 24, 793-807. <https://doi.org/10.1007/s00382-004-0488-8>.
- 435
- 436 冯锦明, 刘黎平, 王致君, 等. 2002. 青藏高原那曲地区雨季雷达回波、降水和部分热力参量
437 的统计特征 [J]. 高原气象, 21 (4): 368-374. Feng Jing Ming, Liu Liping, Wang Zhijun, et al.
438 2002. The statistic characteristics of radar echo and precipitation and some thermodynamic
439 variables in Qinghai-Xizang Plateau[J]. Plateau Meteorology (in Chinese), 21 (4): 368-374.
- 440 范广州, 吕世华, 1999. 地形对华北地区夏季降水影响的数值模拟研究 [J]. 高原气象,
441 18(4):659-667. Fan Guangzhou, Lv Shihua. 1999. Numerical simulation study for the effect of
442 terrain on North China summer precipitation[J]. Plateau Meteorology (in Chinese),
443 18(4):659-667.
- 444 Fujinami H, Yasunari T. 2001. The Seasonal and Intraseasonal Variability of Diurnal Cloud
445 Activity over the Tibetan Plateau[J]. Journal of the Meteorological Society of Japan Ser II,
446 79(6): 1207-1227.
- 447 Fujinami H, Nomura S, Yasunari T. 2005. Characteristics of Diurnal Variations in Convection and
448 Precipitation over the Southern Tibetan Plateau during Summer[J]. SOLA. 1:49-52.
- 449 傅云飞, 李宏图, 自勇. 2007. TRMM 卫星探测青藏高原谷地的降水云结构个例分析[J]. 高原
450 气象, 26(1): 98-106. Fu Yunfei, Li Hongtu, Zi Yong. 2007. Case Study of Precipitation Cloud
451 Structure Viewed by TRMM Satellite in a Valley of the Tibetan Plateau[J]. Plateau Meteorology,
452 26(1): 98-106.
- 453 Gao W, Liu L, Li J, et al. 2018. The Microphysical Properties of Convective Precipitation Over
454 the Tibetan Plateau by a Subkilometer Resolution Cloud-Resolving Simulation[J]. Journal of
455 Geophysical Research: Atmospheres, 123(6):3212-3227.
- 456 Gao W, Sui C-H, Fan J, et al. 2016. A study of cloud microphysics and precipitation over the
457 Tibetan Plateau by radar observations and cloud-resolving model simulations[J]. Journal of
458 Geophysical Research: Atmospheres, 121(22):13735-13752.
- 459 Galewsky J, Sobel A. 2005. Moist dynamics and orographic precipitation in northern and central
460 California during the New Year's flood of 1997[J]. Monthly Weather Review, 133(6):1594-1612.
- 461 Garvert M F, Smull B, Mass C. 2007. Multiscale mountain waves influencing a major orographic
462 precipitation even[J]. Journal of the Atmospheric Sciences, 64(3):711-737.
- 463 郭欣, 郭学良, 付丹红, 等. 2013. 钟形地形动力抬升和重力波传播与地形云和降水形成关系
464 研究[J]. 大气科学, 37 (4): 786-800. Guo Xin, Guo Xueliang, Fu Danhong, et al. 2013.
465 Relationship between bell-shaped terrain dynamic forcing, mountain wave propagation, and
466 orographic clouds and precipitation [J]. Chinese Journal of Atmospheric Sciences (in Chinese),

- 467 37 (4): 786–800. doi:10.3878/j.issn.1006-9895.2012.12114.
- 468 Hahn D G, Manabe S.1975. The role of mountains in the South Asian monsoon circulation[J]. J.
469 Atmos. Sci., 32: 1515–1541, doi: 10.1175/1520-0469(1975)032,1515:tromit.2.0.co;2.
- 470 黄美元, 洪延超. 1984. 在梅雨锋云系内层状云回波结构及其降水的不均匀性[J]. 气象学报,
471 (1): 80-87. doi: 10.11676/qxxb1984.008. Huang Meiyuan, Hong Yanchao. 1984. The
472 inhomogeneous features of the precipitation and echo structure of stratiform cloud in Meiyu
473 frontal cloud system[J]. Acta Meteorologica Sinica, (1): 80-87. doi: 10.11676/qxxb1984.008.
- 474 姜平, 刘晓冉, 朱浩楠, 等. 2019. 复杂地形下局地山谷风环流的理想数值模拟[J]. 高原气象,
475 38(6) : 1272—1282. Jiang Ping, Liu Xiaoran, Zhu Haonan, et al. 2019. Idealized numerical
476 simulation of local mountain-valley winds over complex topography [J]. Plateau Meteorology,
477 38(6) : 1272—1282. doi: 10.7522/j.issn.1000—0534.2019.00019.
- 478 Jin M. 2006. MODIS observed seasonal and interannual variations of atmospheric conditions
479 associated with hydrological cycle over Tibetan Plateau [J]. Geophysical Research Letters,
480 33(19): L19707.
- 481 刘黎平, 楚荣忠, 宋新民, 等. 1999. GAME-TIBET 青藏高原云和降水综合观测概况及初步
482 结果[J]. 高原气象, 18 (3): 441—450. Liu Liping, Chu Rongzhong, Song Xinmin, et al. 1999.
483 Summary and preliminary results of cloud and precipitation observation in Qinghai-Xizang
484 Plateau in GAMETIBET [J]. Plateau Meteorology, (in Chinese), 18(3): 441—450.
- 485 Luo H, Yanai M. 1983. The large-scale circulation and heat sources over the Tibetan Plateau and
486 surrounding areas during the early summer of 1979. Part I: precipitation and kinematic
487 analyses[J]. Monthly Weather Review, 111(5):922-944.
- 488 Luo H, Yanai M. 1984. The large-scale circulation and heat sources over the Tibetan Plateau and
489 surrounding areas during the early summer of 1979. Part II: heat and moisture budgets[J].
490 Monthly Weather Review, 112(5):966-989.
- 491 Molnar P, Boos W R, Battisti D S. 2010. Orographic controls on climate and paleo-climate of Asia:
492 Thermal and mechanical roles for the Tibetan Plateau[J]. Annu. Rev. Earth Planet. Sci., 38, 77—
493 102, <https://doi.org/10.1146/annurev-earth-040809-152456>.
- 494 Park H S, Chiang S P, Son S W. 2013. Poleward stationary eddy heat transport by the Tibetan
495 Plateau and equatorward shift of westerlies during northern winter[J]. J. Atmos. Sci., 70, 3288—
496 3301, <https://doi.org/10.1175/JAS-D-13-039.1>.
- 497 Qiu J. 2008. China: The Third Pole[J]. Nature, 454:393-396.
- 498 Roe G H. 2005. Orographic precipitation [J] . Annual review of earth and planetary science,
499 33:645-671.
- 500 Rotunno R, Ferretti R. 2001. Mechanisms of intense Alpine rainfall [J]. Journal of the
501 Atmospheric Sciences, 58(13):1732-1749.
- 502 Siler N, Durran D.2015. Assessing the impact of the tropopause on mountain waves and
503 orographic precipitation using linear theory and numerical simulations [J]. Journal of the

- 504 Atmospheric Sciences, 72(2): 803-820.
- 505 Siler N, Durran D. 2016. What causes weak orographic rain shadows? Insights from case studies
506 in the Cascades and idealized simulations[J]. Journal of the Atmospheric Sciences, 73(10):
507 4077-4099.
- 508 Stockham A J, Schultz D M, Fairman Jr J G, et al. 2018. Quantifying the rain-shadow effect:
509 Results from the Peak District, British Isles[J]. Bulletin of the American Meteorological Society,
510 99(4): 777-790.
- 511 唐洁, 郭学良, 常祎. 2018a. 青藏高原那曲地区夏季一次对流云降水过程的云微物理及区域
512 水分收支特征[J]. 大气科学, 42(6):156-172. Tang Jie, Guo Xueliang, Chang Yi. 2018a. Cloud
513 Microphysics and Regional Water Budget of a Summer Precipitation Process at Naqu over the
514 Tibetan Plateau[J]. Chinese Journal of Atmospheric Sciences, 42(6): 1327-1343.
- 515 唐洁, 郭学良, 常祎. 2018b. 2014 年夏季青藏高原云和降水微物理特征的数值模拟研究[J].
516 气象学报, 76(06): 223-238. Tang Jie, Guo Xueliang, Chang Yi. 2018b. Numerical studies on
517 microphysical properties of clouds and precipitation in the summer of 2014 over the Tibetan
518 Plateau[J]. Acta Meteorologica Sinica, 76(06):223-238.
- 519 Ueno K, Fujii H, Yamada H, et al. 2001. Weak and Frequent Monsoon Precipitation over the
520 Tibetan Plateau[J]. Journal of the Meteorological Society of Japan Ser II., 79(1B):419-434.
- 521 Uyeda H, Yamada H, Horikomi J, et al. 2001. Characteristics of Convective Clouds Observed by a
522 Doppler Radar at Naqu on Tibetan Plateau during the GAME-Tibet IOP[J]. Journal of the
523 Meteorological Society of Japan Ser II., 79(1B):463-474.
- 524 Veals P G, Steenburgh W J, Campbell L S. 2018. Factors affecting the inland and orographic
525 enhancement of lake-effect precipitation over the Tug Hill Plateau[J]. Monthly Weather Review,
526 146(6): 1745-1762.
- 527 汪会, 罗亚丽, 张人禾. 2011. 用 CloudSat/CALIPSO 资料分析亚洲季风区和青藏高原地区云
528 的季节变化特征[J]. 大气科学, 35(6):1117-1117. Wang Hui, Luo Yali, Zhang Renhe. 2011.
529 Analyzing Seasonal Variation of Clouds over the Asian Monsoon Regions and the Tibetan
530 Plateau Region using CloudSat/CALIPSO Data[J]. Chinese Journal of Atmospheric Sciences,
531 35(6): 1117-1131.
- 532 Wu G, and Zhang Y. 1998. Tibetan Plateau forcing and the timing of the monsoon onset over
533 South Asia and the South China Sea[J]. Monthly Weather Review, 126: 913-927,
534 [https://doi.org/10.1175/1520-0493\(1998\)126,0913:tpfatt.2.0.co;2](https://doi.org/10.1175/1520-0493(1998)126,0913:tpfatt.2.0.co;2).
- 535 吴胜刚, 刘屹岷, 邹晓蕾, 等. 2016. WRF 模式对青藏高原南坡夏季降水的模拟分析[J]. 气象学
536 报, 74(5):744-756. Wu Shenggang, Liu Yimin, Zou Xiaolei, et al. 2016. The simulation analysis
537 of the precipitation over the southern slopes of the Tibetan Plateau based on WRF model[J].
538 Acta Meteorologica Sinica, 74(5): 744-756.
- 539 徐祥德, 陶诗言, 王继志, 等. 2002. 青藏高原—季风水汽输送"大三角扇型"影响域特征与中
540 国区域旱涝异常的关系[J]. 气象学报. 60(3):257-266. Xu Xiangde, Tao Shiyan, Wang Jizhi.

- 541 et al. 2002. The Relationship between Water Vapor Transport Features of Tibetan
542 Plateau-Monsoon "Large Triangle" Affecting Region and Drought-Flood Abnormality of
543 China[J]. Acta Meteorologica Sinica, 60(3):257-266.
- 544 徐祥德, 董李丽, 赵阳, 等. 2019.青藏高原"亚洲水塔"效应和大气水分循环特征[J]. 科学通
545 报. 64: 2830-2841. Xu Xiangde, Dong Lili, Zhao Yang, et al. 2019. Effect of the Asian Water
546 Tower over the Qinghai-Tibet Plateau and the characteristics of atmospheric water
547 circulation[J]. Chin Sci Bull (in Chinese), 64: 2830–2841.
- 548 Yeh T C, Luo S W, Chu P C. 1957. The wind structure and heat balance in the lower troposphere
549 over Tibetan Plateau and its surrounding[J]. Acta Meteor. Sin., 28, 108–121.
- 550 叶笃正, 高由禧. 1979. 青藏高原气象学[M]. 北京: 科学出版社, Ye Duzheng, Gao Youxi.
551 1979. Meteorology of the Qinghai-Xizang Plateau. Beijing[M]. Beijing: China Science Press.
- 552 Yao T, Coauthors. 2012. Different glacier status with atmospheric circulations in Tibetan Plateau
553 and surroundings[J]. Nat. Climate Change, 2, 663–667, <https://doi.org/10.1038/nclimate1580>.
- 554 Yanai M, Li C, Song Z. 1992. Seasonal heating of the Tibetan Plateau and its effects on the
555 evolution of the Asian summer monsoon[J]. J. Meteor. Soc. Japan, 70: 319–351,
556 https://doi.org/10.2151/jmsj1965.70.1b_319.
- 557 Zhao P, Xu X, Chen F, et al. 2018. The Third Atmospheric Scientific Experiment for
558 Understanding the Earth–Atmosphere Coupled System over the Tibetan Plateau and Its
559 Effects[J]. Bulletin of the American Meteorological Society, 99(4):757-776.
- 560 赵平, 李跃清, 郭学良,等. 2018. 青藏高原地气耦合系统及其天气气候效应:第三次青藏高原
561 大气科学试验[J]. 气象学报, 76(6): 833-860. Zhao Ping, Li Yueqing, Guo Xueliang, et al.
562 2018. The Tibetan Plateau surface-atmosphere coupling system and its weather and climate
563 effects: The Third Tibetan Plateau Atmospheric Scientific Experiment[J]. Acta Meteorologica
564 Sinica, 76(6): 833-860.
- 565 朱士超,银燕,金莲姬,等. 2011.青藏高原一次强对流过程对水汽垂直输送的数值模拟[J].大气
566 科学, 35(6): 1057-1068. Zhu Shichao, Yin Yan, Jin Lianji, et al. 2011. A numerical study of the
567 vertical transport of water vapor by intense convection over the Tibetan Plateau [J]. Chinese
568 Journal of Atmospheric Sciences(in Chinese),35 (6): 1057-1068.
- 569 Thompson G, Rasmussen R M, Manning K. 2004. Explicit forecasts of winter precipitation using
570 an improved bulk microphysics scheme. Part I: Description and sensitivity analysis [J]. Monthly
571 Weather Review, 132 (2): 519-542. doi:10.1175/1520-0493(2004)1322.0.co;2.